

FIG. 16A-C

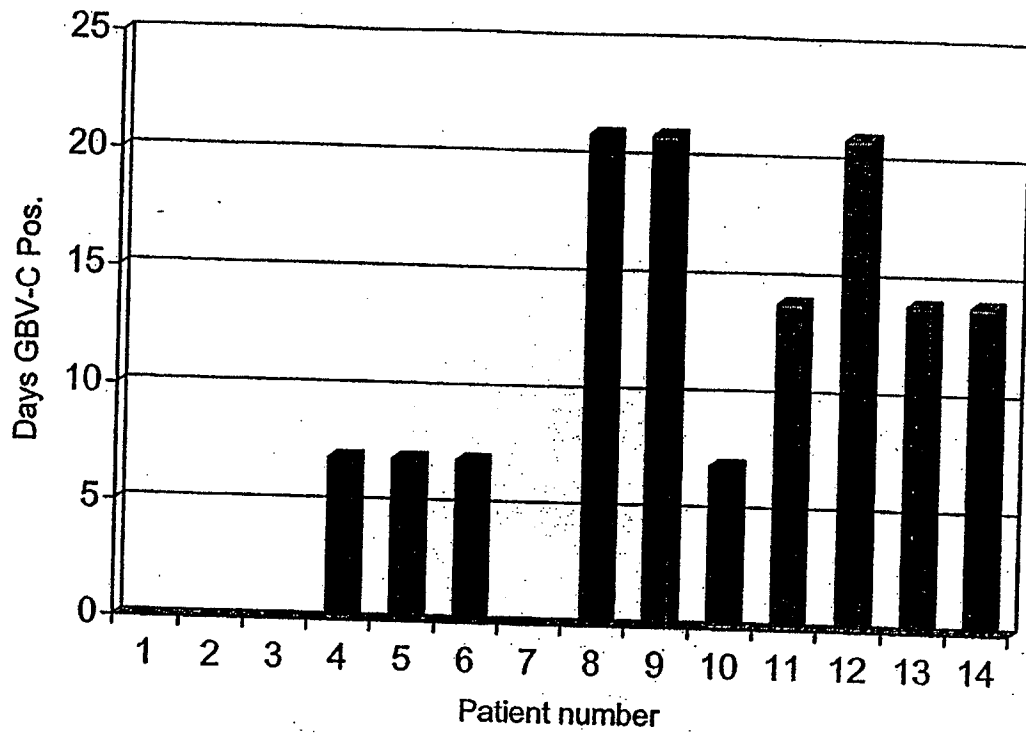


FIG. 17

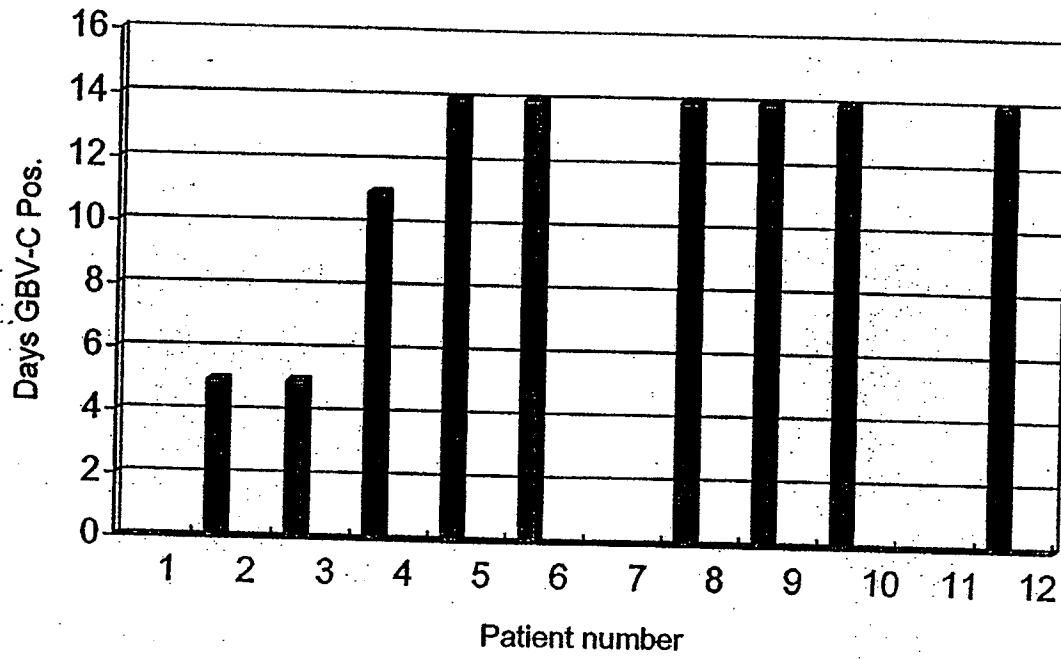


FIG. 18

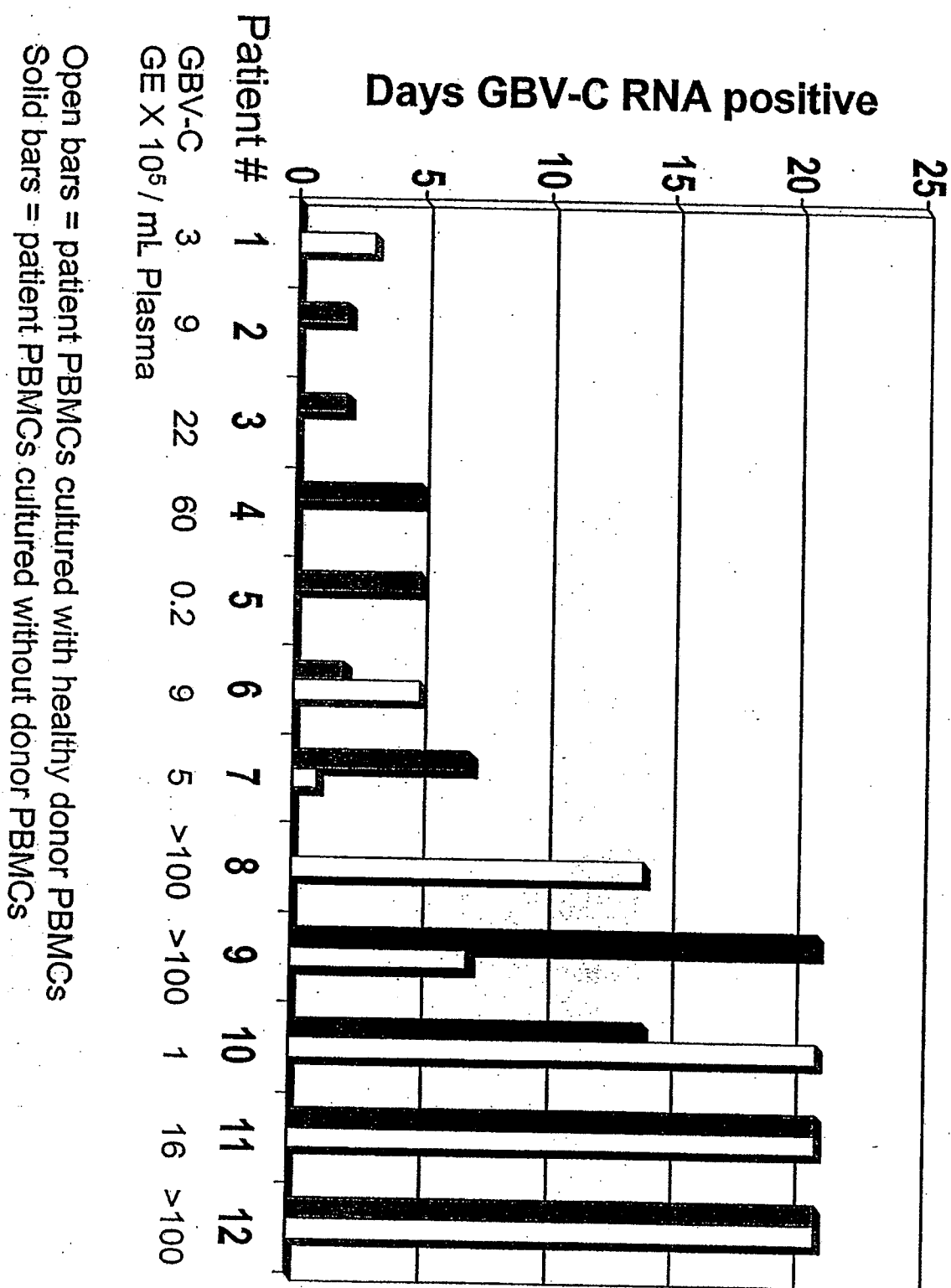


FIG. 19A

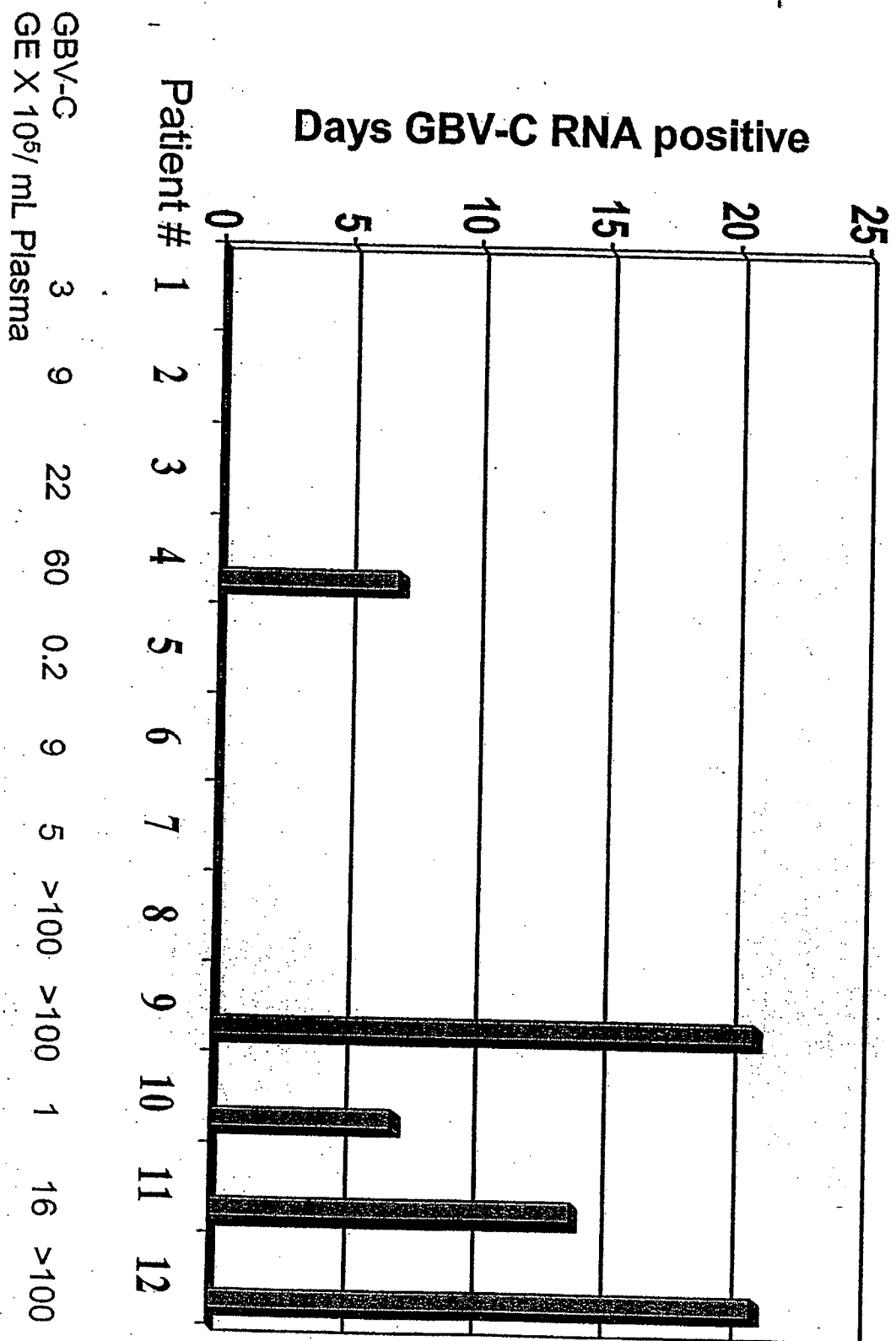


FIG. 19B

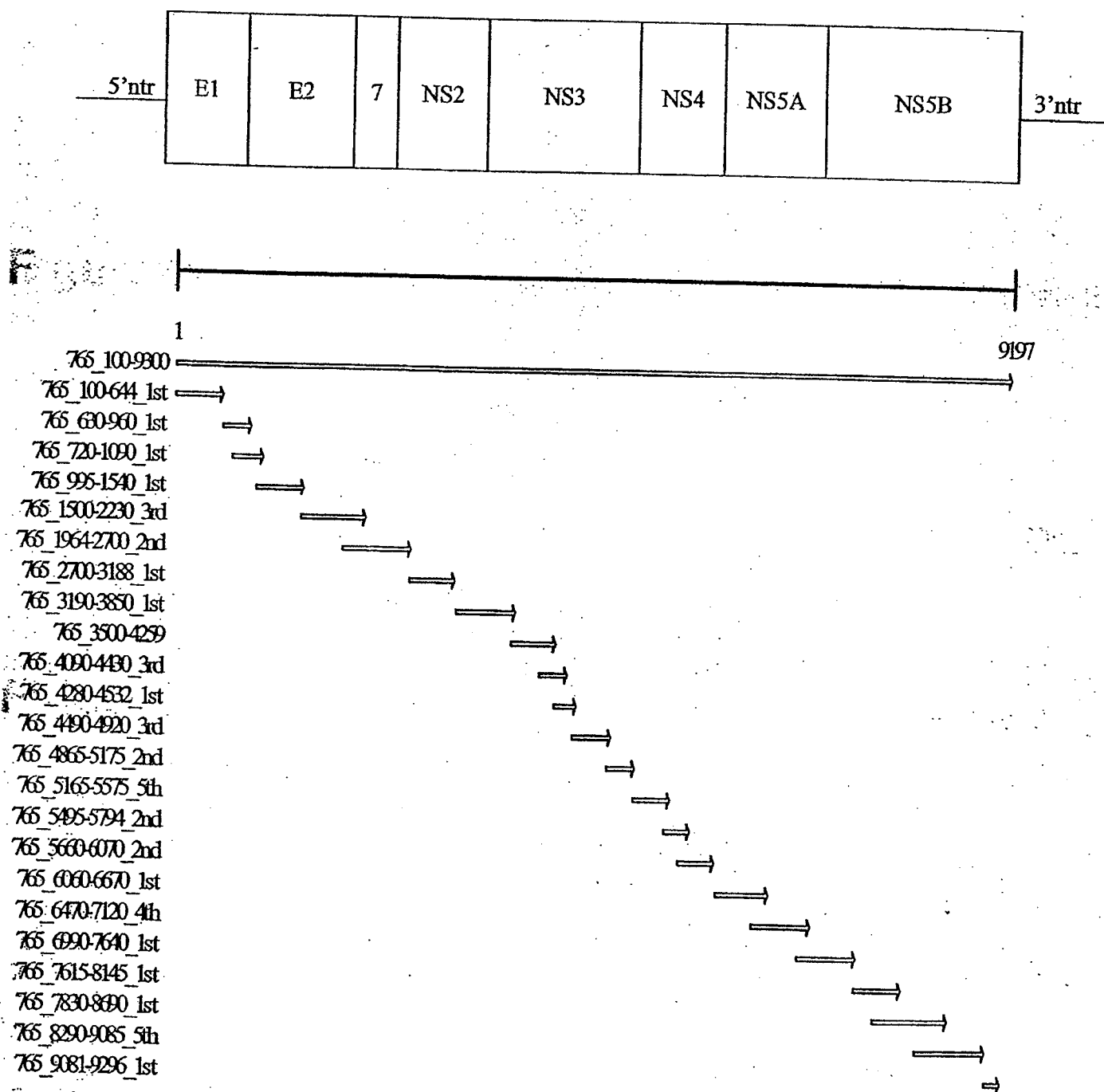


FIG. 20

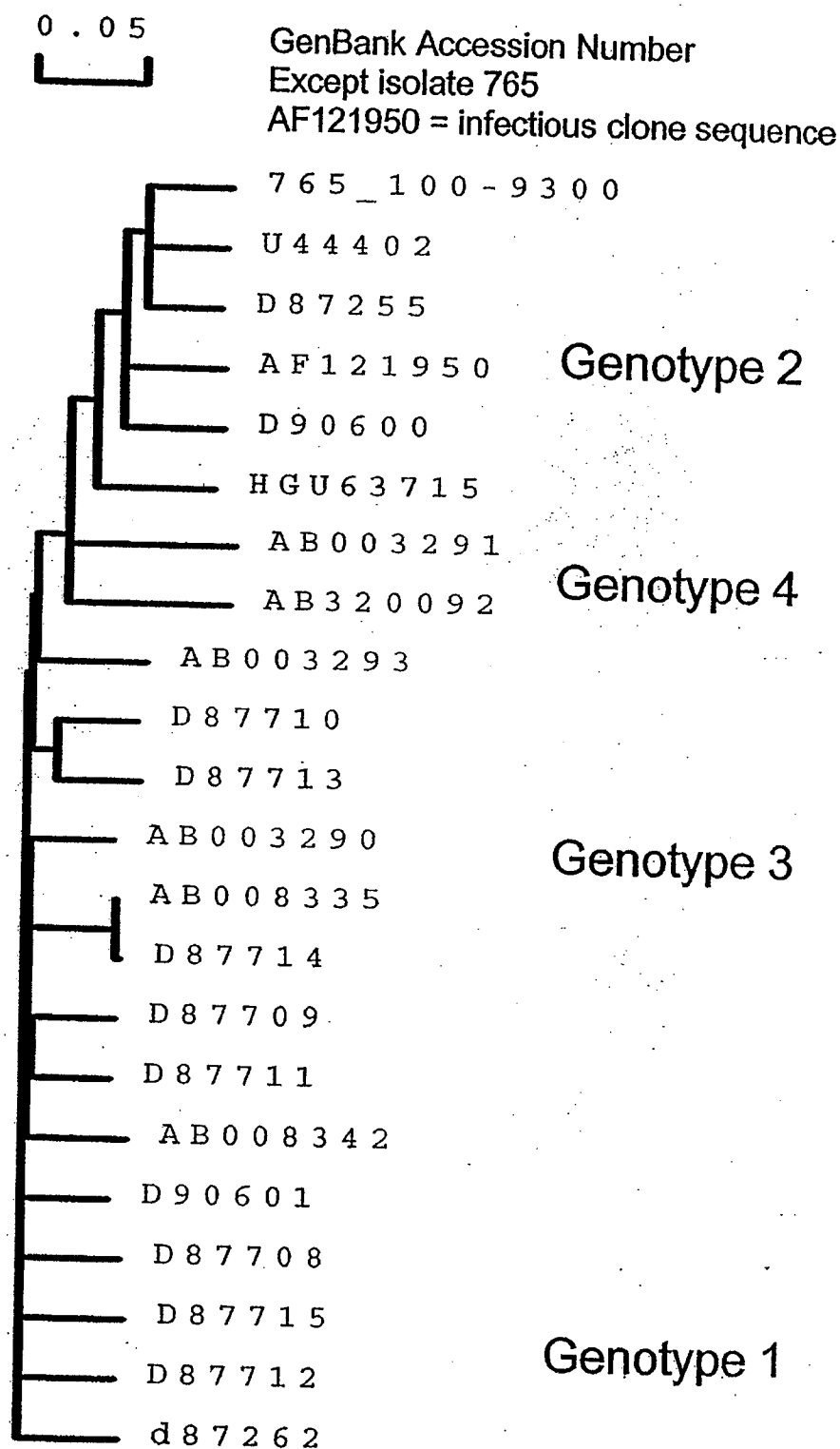


FIG. 21

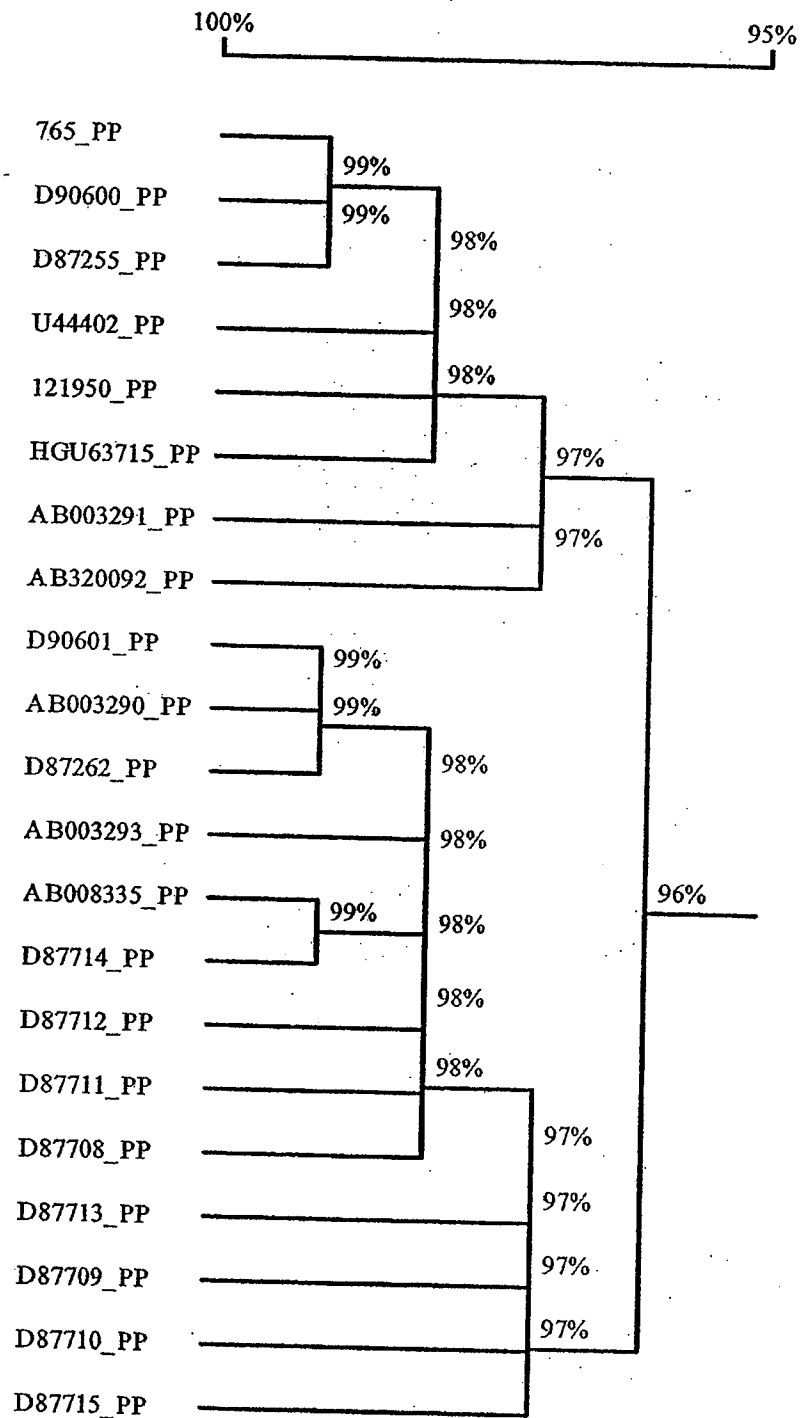


FIG. 22

GBV-C phylogenetic relationships by protein coding region.

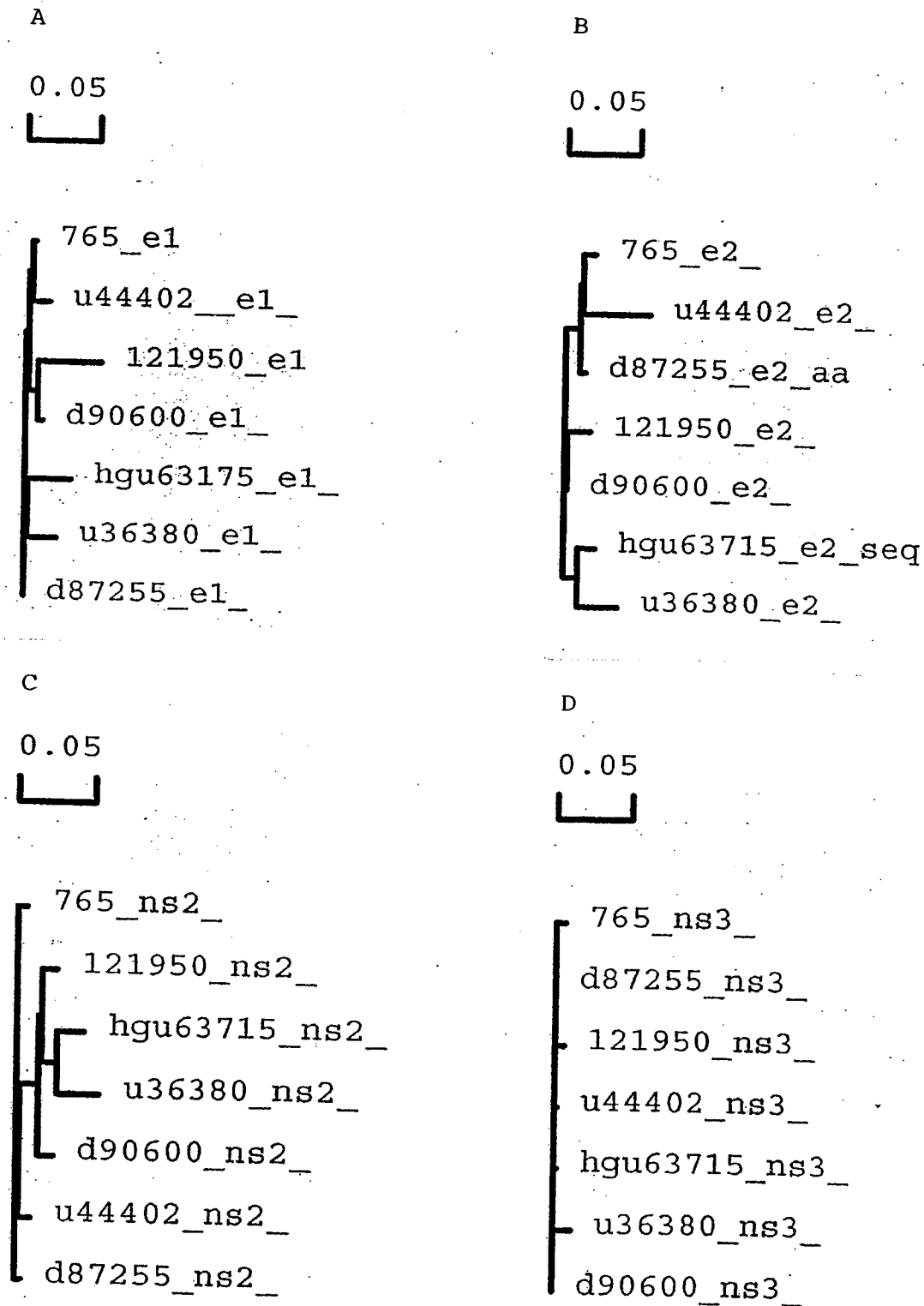


FIG. 23A-D

GBV-C phylogenetic relationships by protein coding region.

E

0.05

765_ns4a_
d87255_ns4a_
u44402_ns4a_
121950_ns4a_
hgu63715_ns4a_
u36380_ns4a_
d90600_ns4a_

F

0.05

765_ns5a_
d87255_ns5a_
121950_ns5a_
u44402_ns5a_
hgu63715_ns5a_
d90600_ns5a_

G

0.05

765_ns5b_
u44402_ns5b_
121950_ns5b_
d90600_ns5b_
d87255_ns5b_
hgu63715_ns5b_

FIG. 23E-G

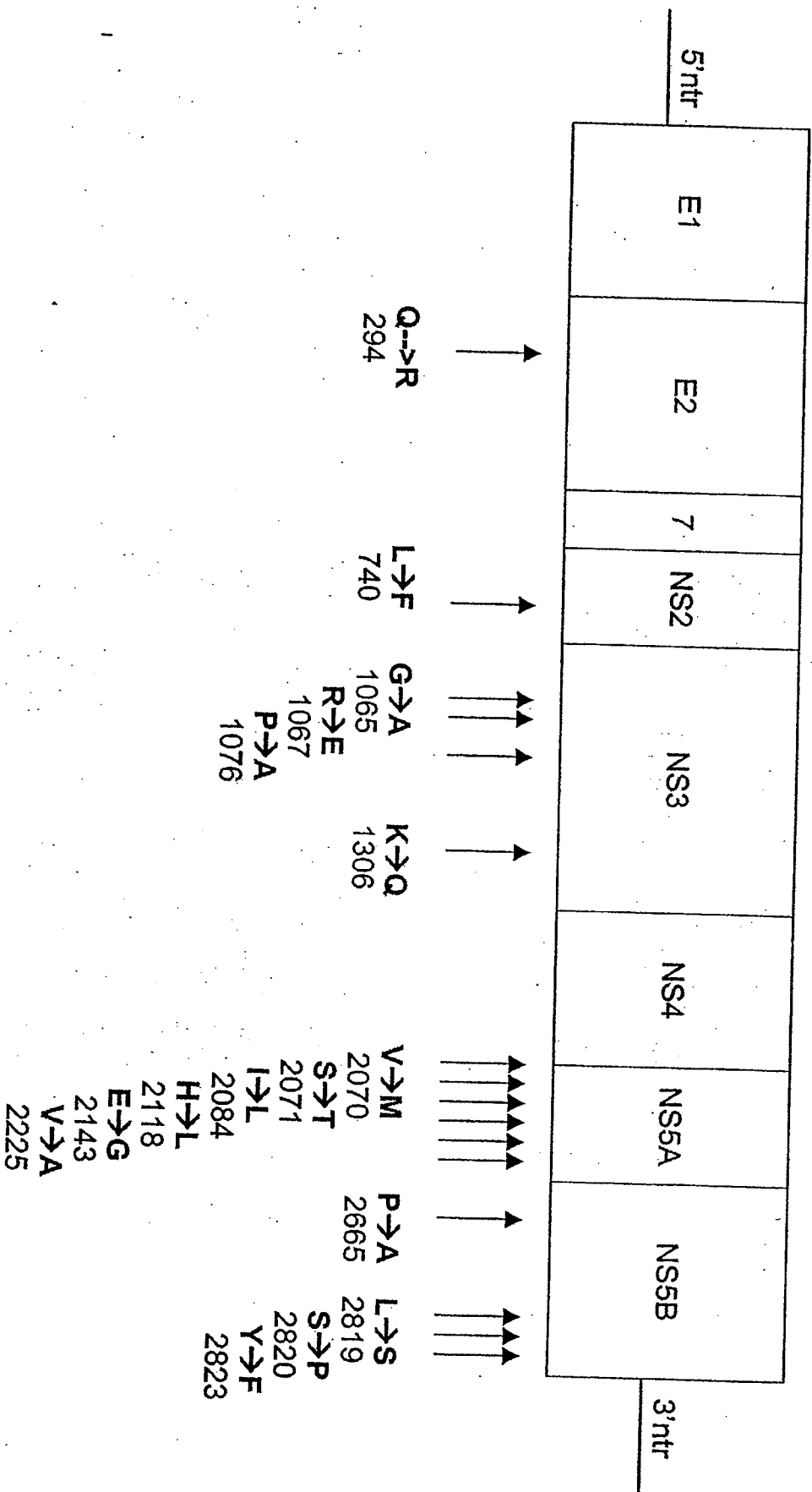


FIG. 24

121950 VALNREPKVDEVQGVWDLWEWIMRQVRMVARLALCPVSLPLWHCGEGWSGE
765

121950 WLLDGHVESRCLCGCVITGDVLNGQLKDPVYSTKLCRHYWMGTPVNMILGYGETSPLLA
765

121950 SDTPKVVPFGTSGWAEVWTPTHVIRRTSAYKLLRQQLSAAVAEPYYVDGIPVSWDADA
765

121950 RAPAMVYGPQSVTIDGERYTLPHQLRLRNVAPEVSSEVSIDIGTETEDSELTEADLPPA
765

121950 AAALQAIENNAARILEPHIDVIMEDCSTPSLCSSREMPVWGEDIPTPSPALISVTESSPDE
765

121950 KTPSVSSSQEDTPSSDSFEVIESEETAEGEESVFNVALSVLKALFPQSDATRKLTVKMSSCC
765

121950 VEKSVTRFFSLGLTVADVASLCEMEIQNHTAYCDKVRTPLELQVGCLVGNELT
765

FIG. 25

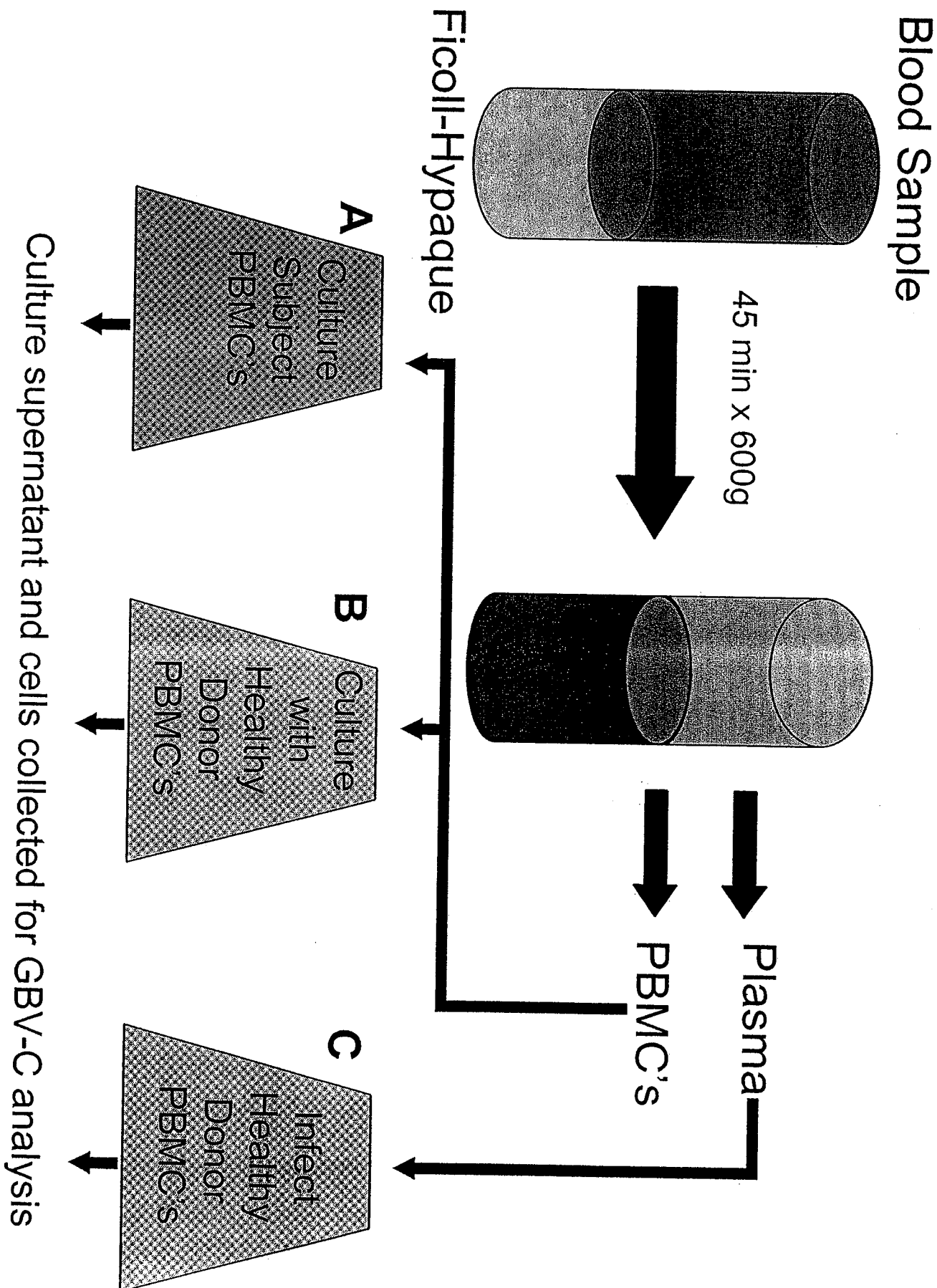


FIG. 26

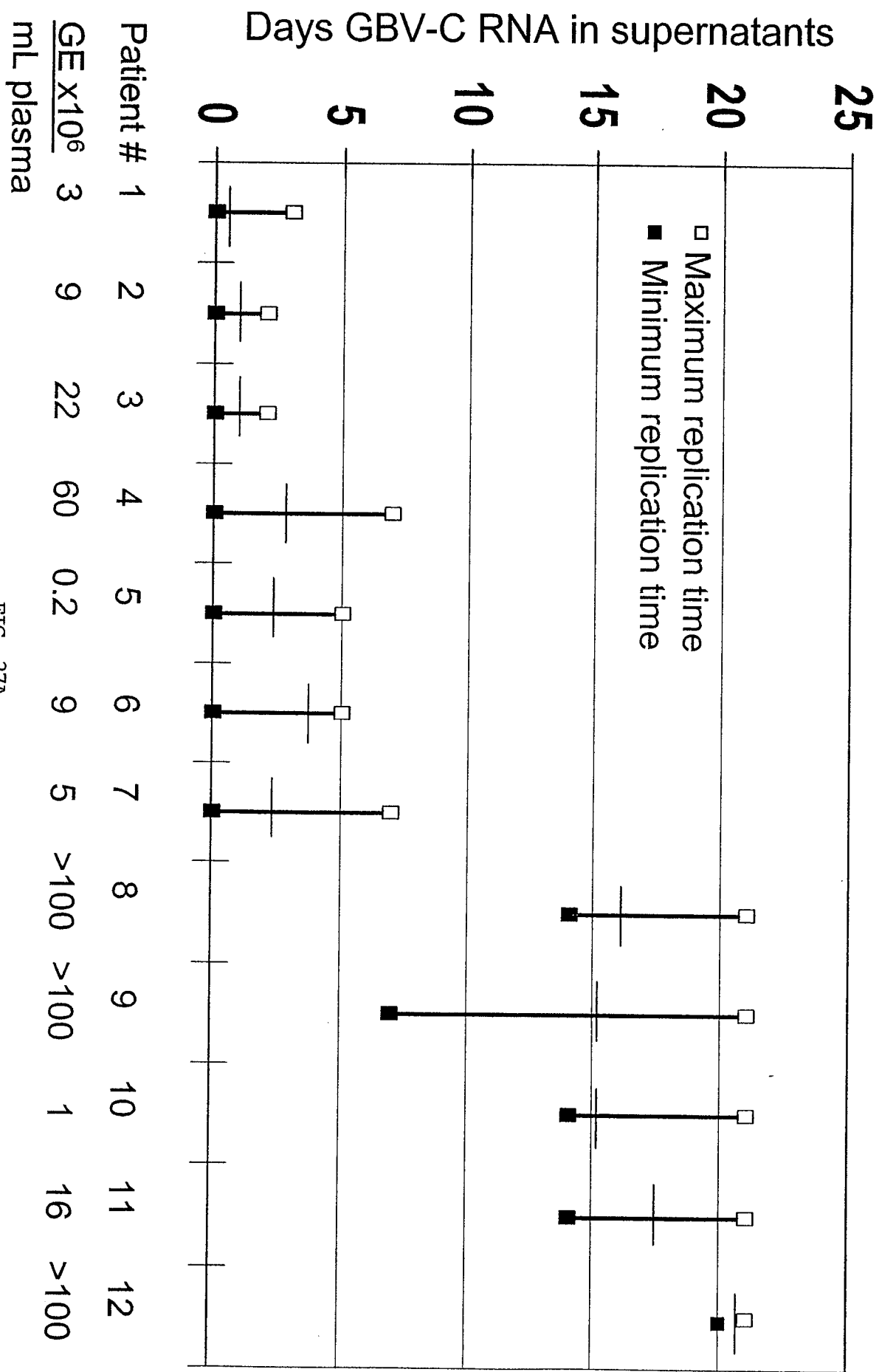


FIG. 27A

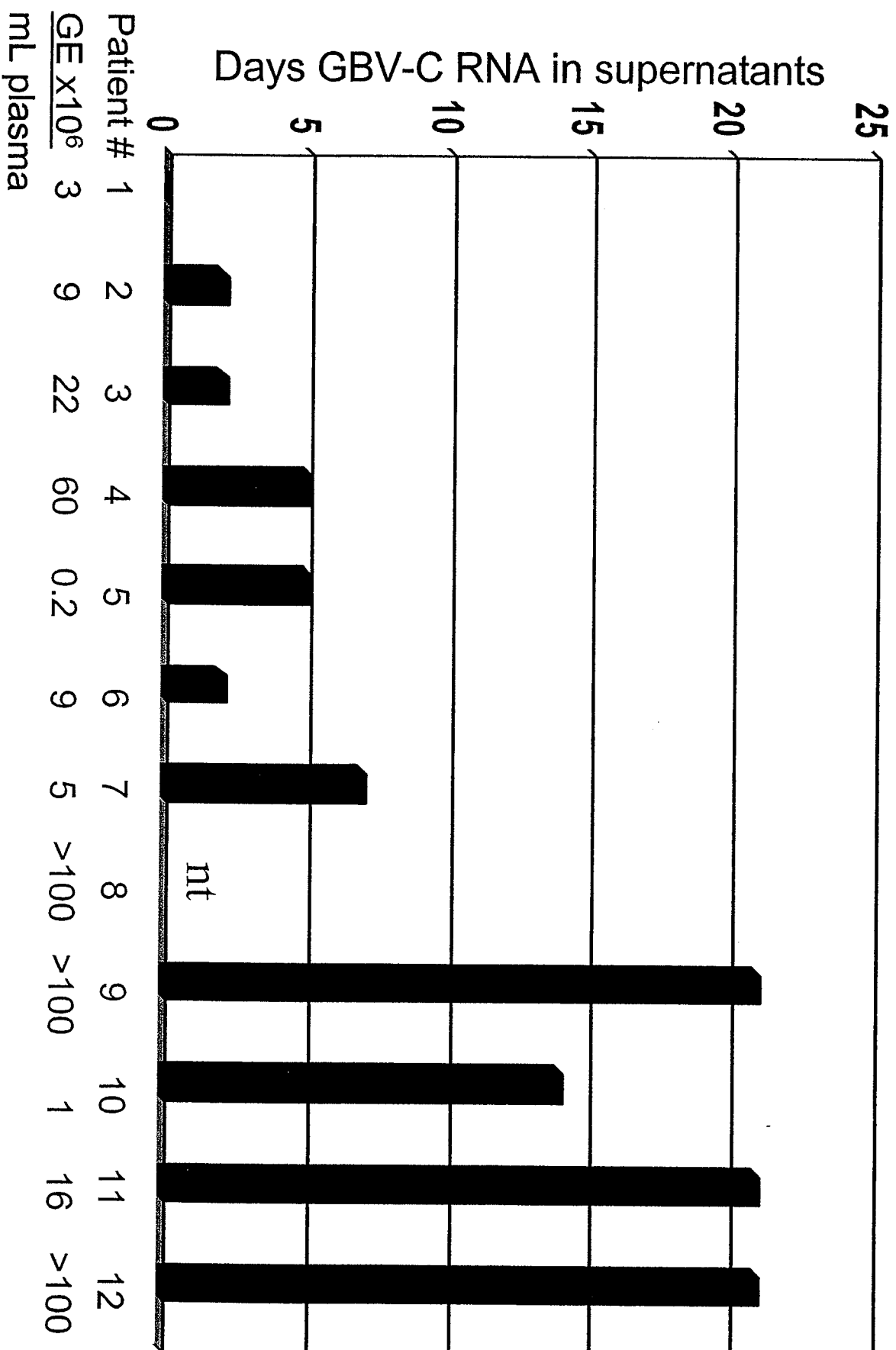


FIG. 27B

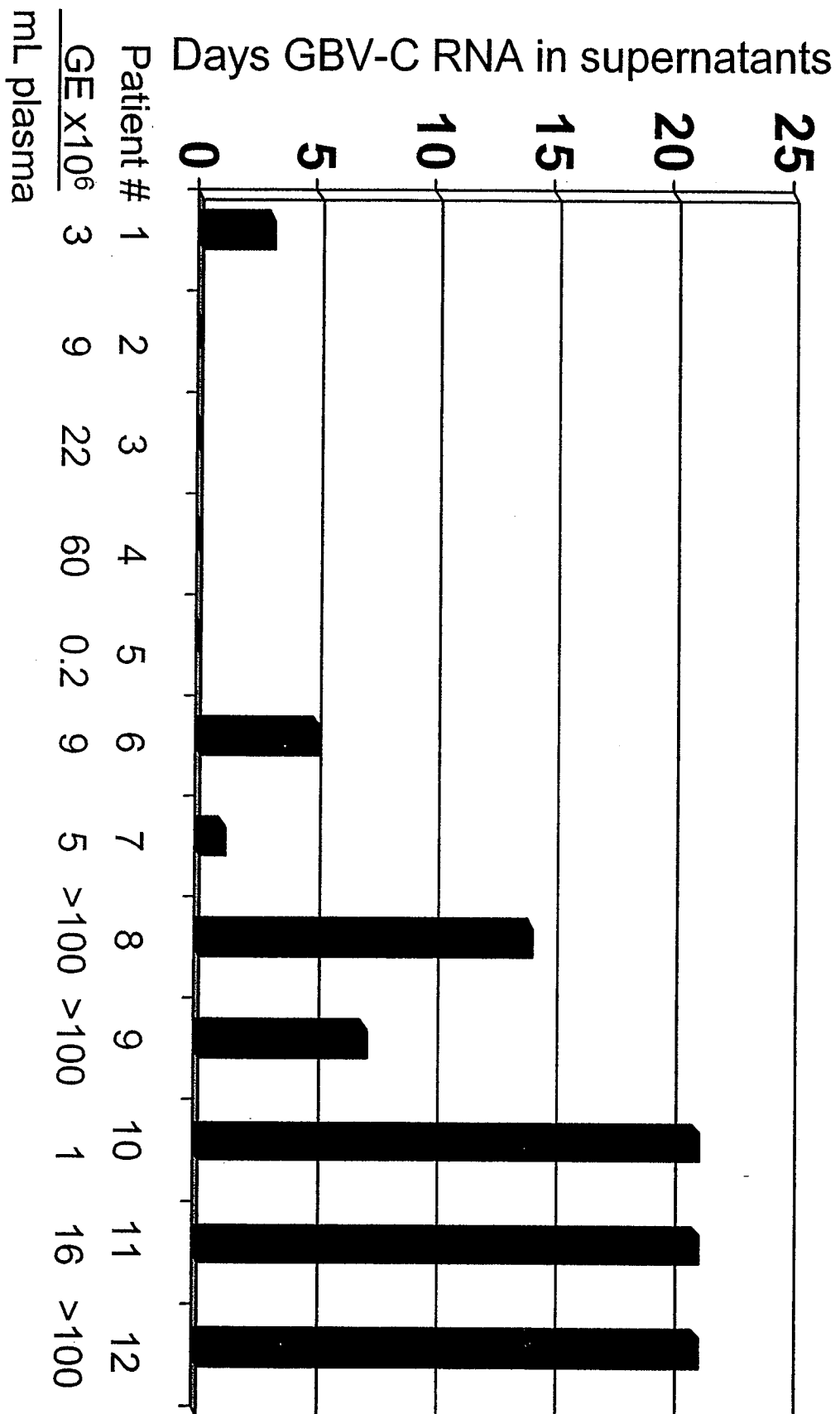


FIG. 27C

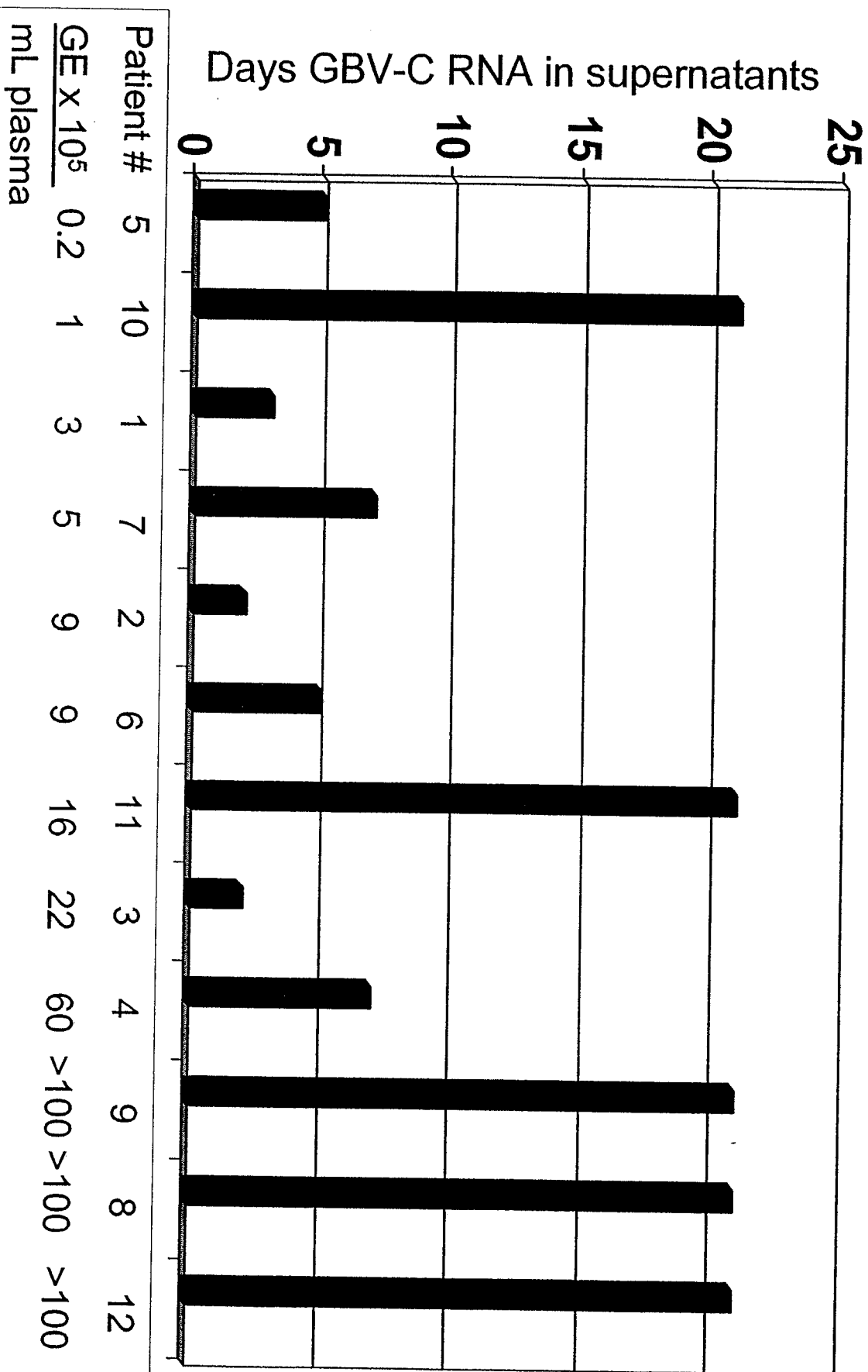


FIG. 28

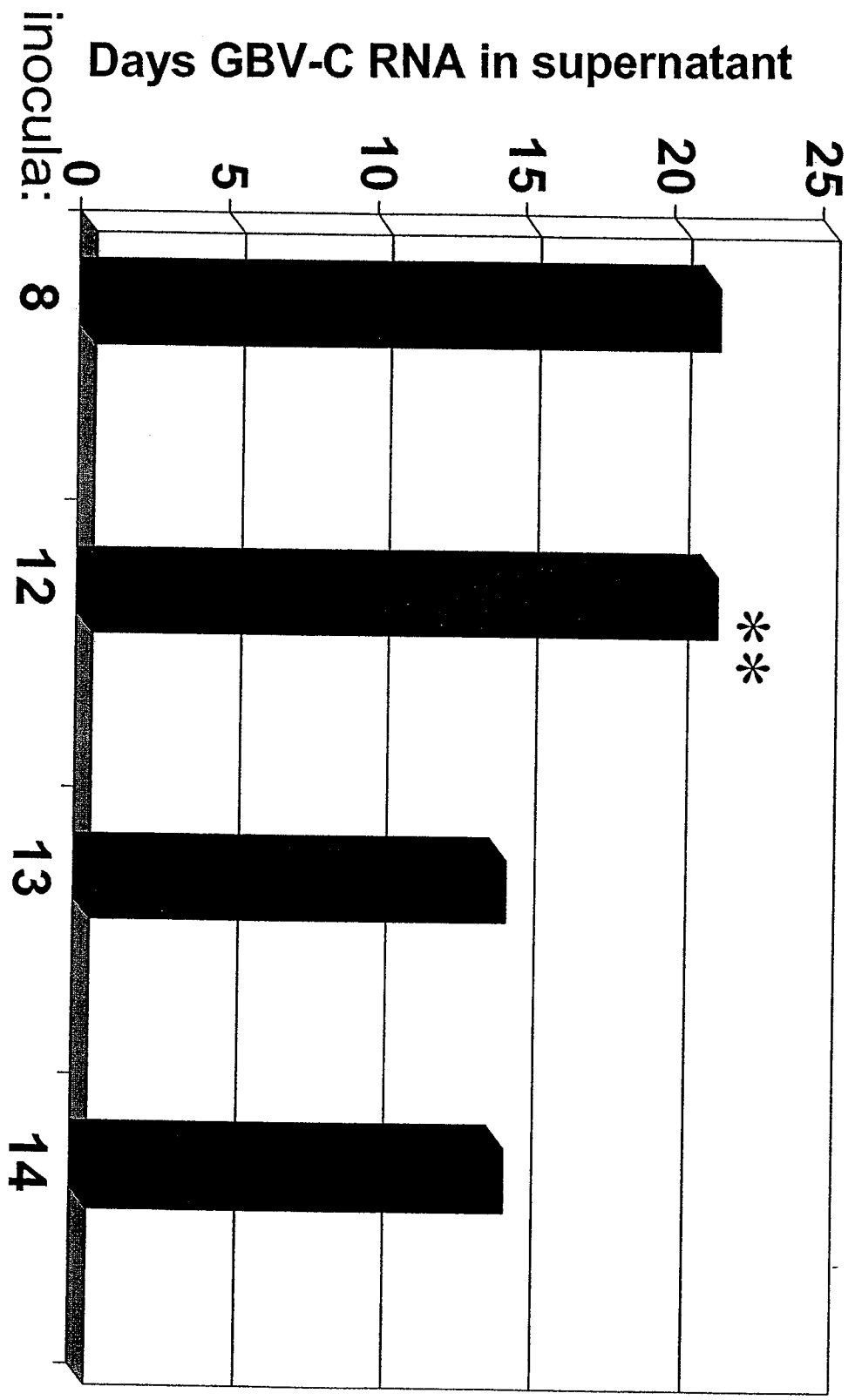


FIG. 29

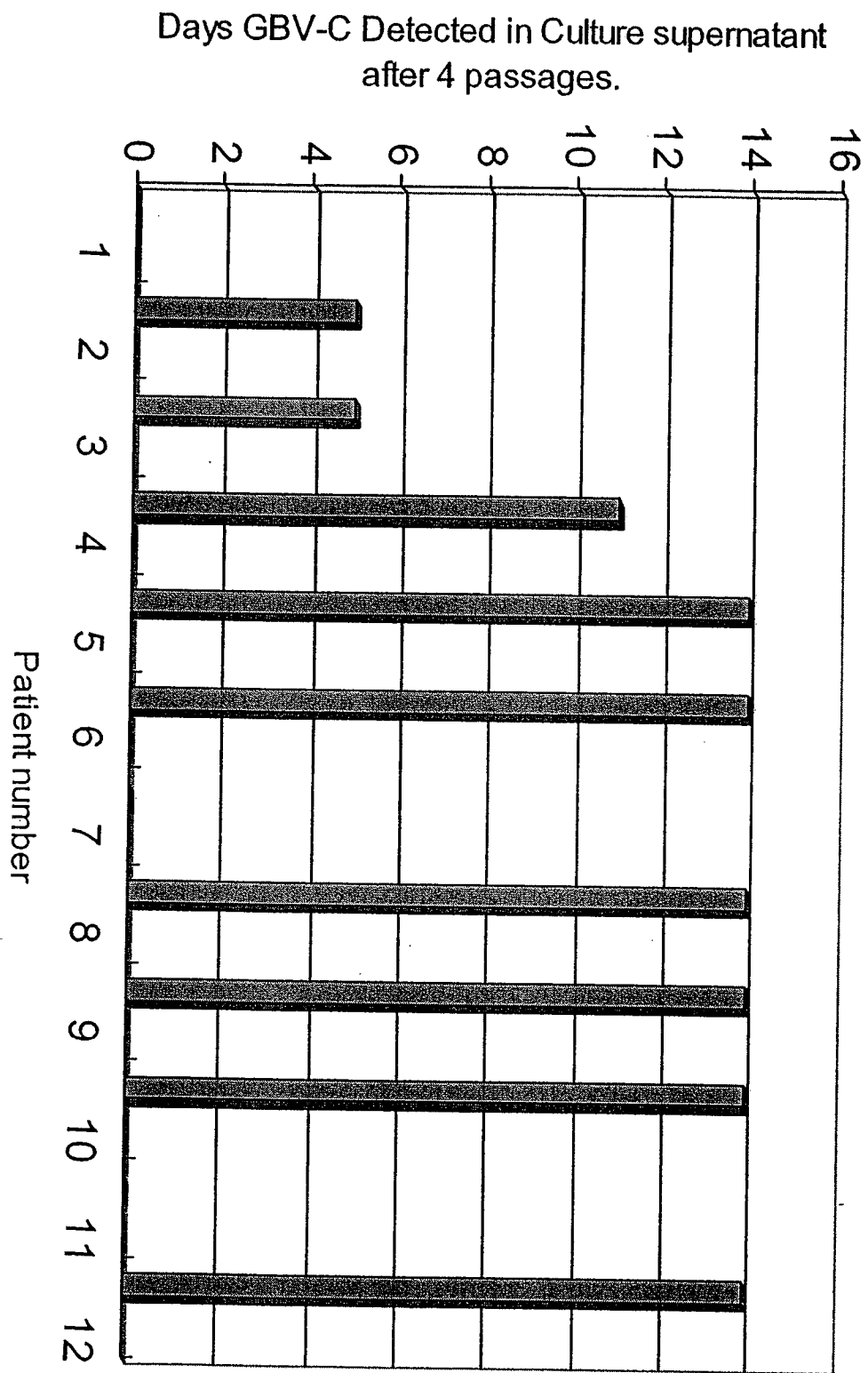


FIG. 30

A.

Plasma GBV-C

TCTGGGCAAGTGTCAACCATTTGACGGGAGCGCTACACCTTCCCGACCACTTGGCGCTCAGGAACGTGGCGCCCTCTGAGTTTCATCCGAGTGT

-----C--T-----

-----A-----

-----C--T-----

Day 14 PBMC supernatant GBV-C

-----C--T-----

-----C-----C--A-----T-----

-----A-----

-----C-----C--A-----T-----

-----T-----

-----C-----C--A-----T-----

-----C-----

-----C-----C--A-----T-----

B.

Plasma GBV-C

CCATAGACATTGGGACGAGACTGAGGATTCAGAACTGACTGAGGCTGACCTGCCCGCGGACGCTGCCGCCCTCCAGCGGATGAGAATGCTGCGAG

-----T-----

-----C-----

Day 14 PBMC supernatant GBV-C

-----T-----

-----A--C-----

-----C--T-----

-----G-----

-----T--T-----

-----A-----

-----T-----

-----T-----

-----A--C-----

-----C--T-----

-----G-----

-----T--T-----

-----A-----

-----T-----

-----T-----

-----A--C-----

-----C--T-----

-----G-----

-----T--T-----

-----A-----

-----T-----

-----T-----

-----A--C-----

-----C--T-----

-----G-----

-----T--T-----

-----A-----

-----T-----

-----T-----

-----A--C-----

-----C--T-----

-----G-----

-----T--T-----

-----A-----

-----T-----

FIG. 31

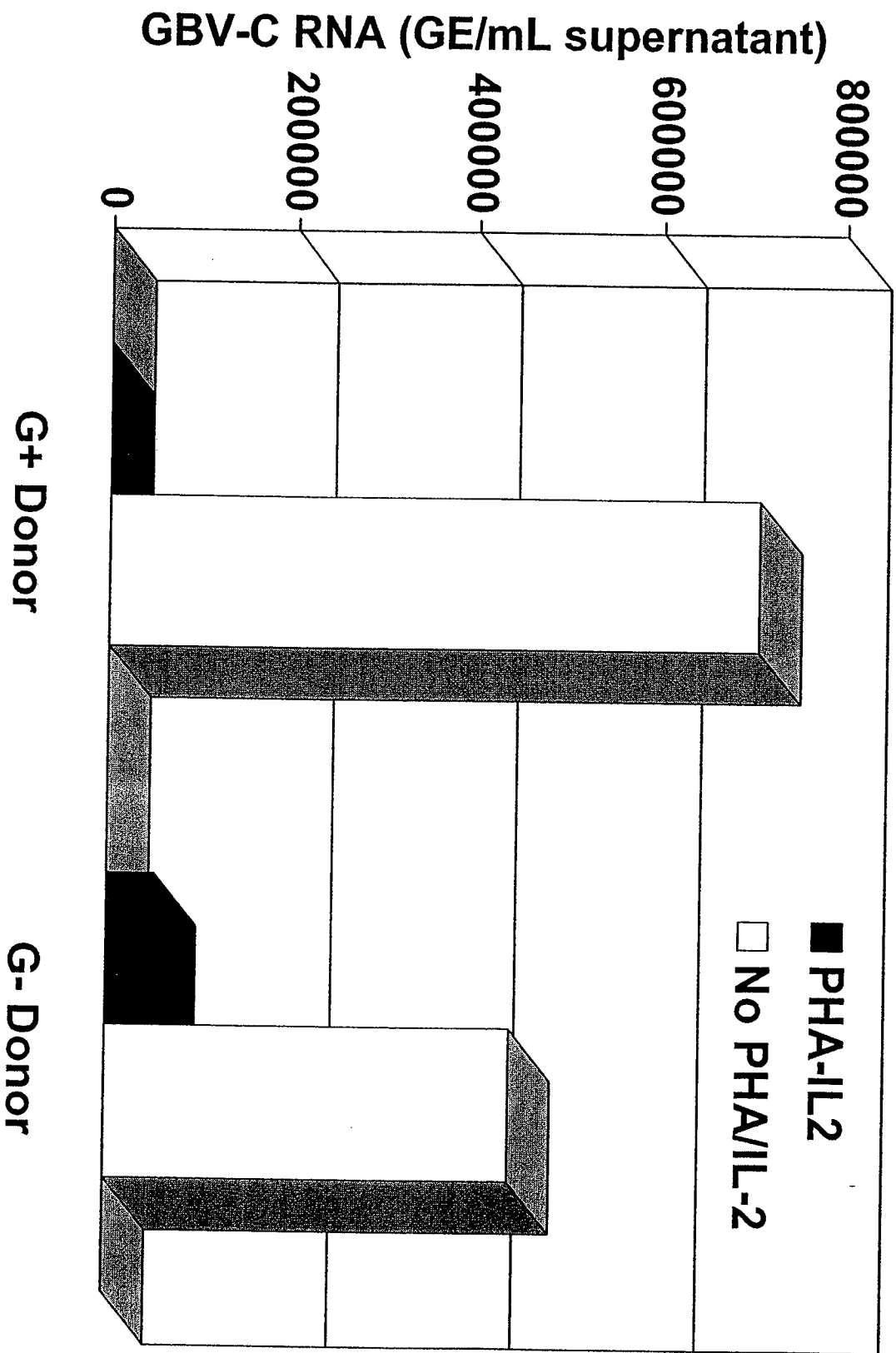


FIG. 32

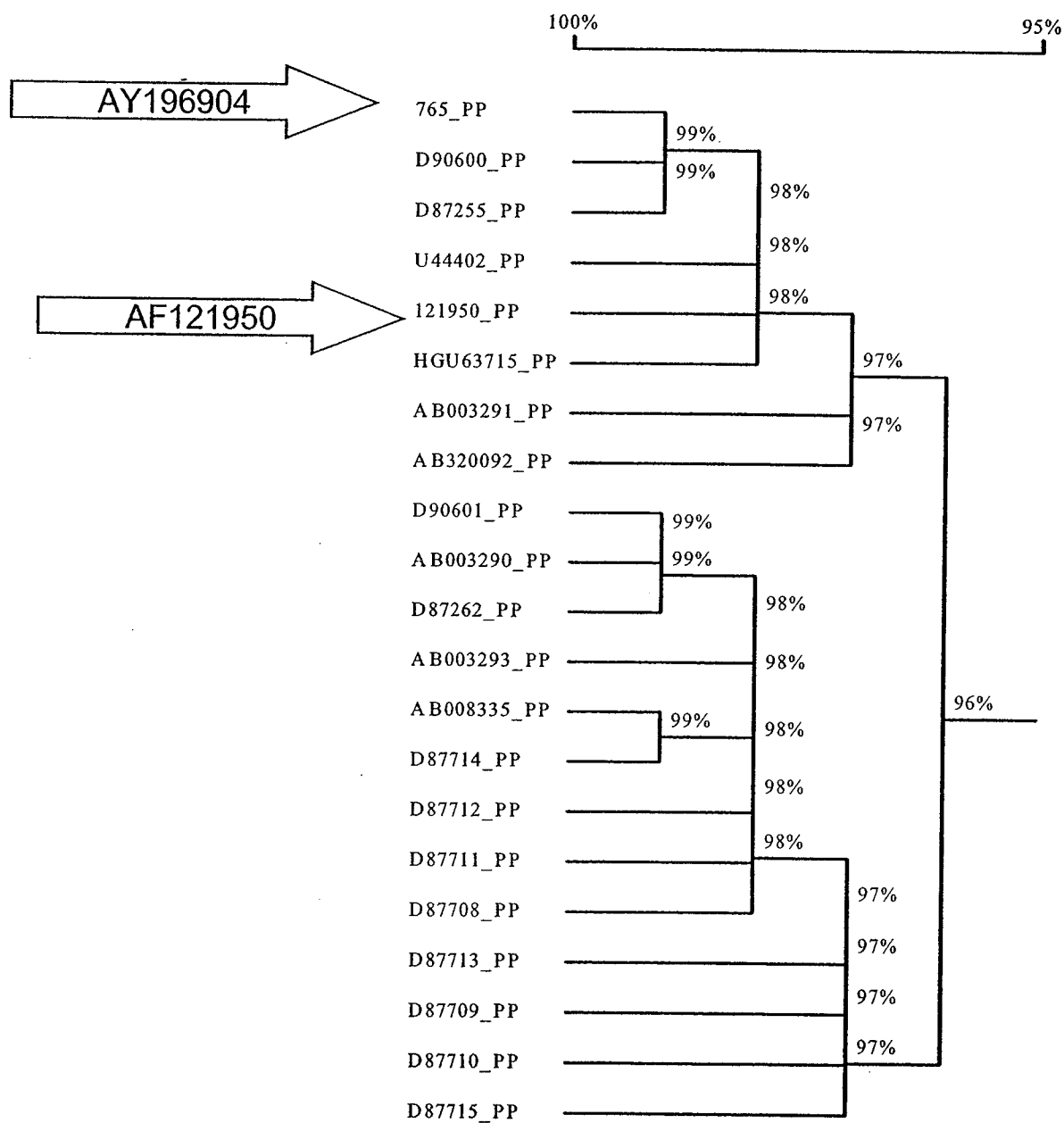


FIG. 33

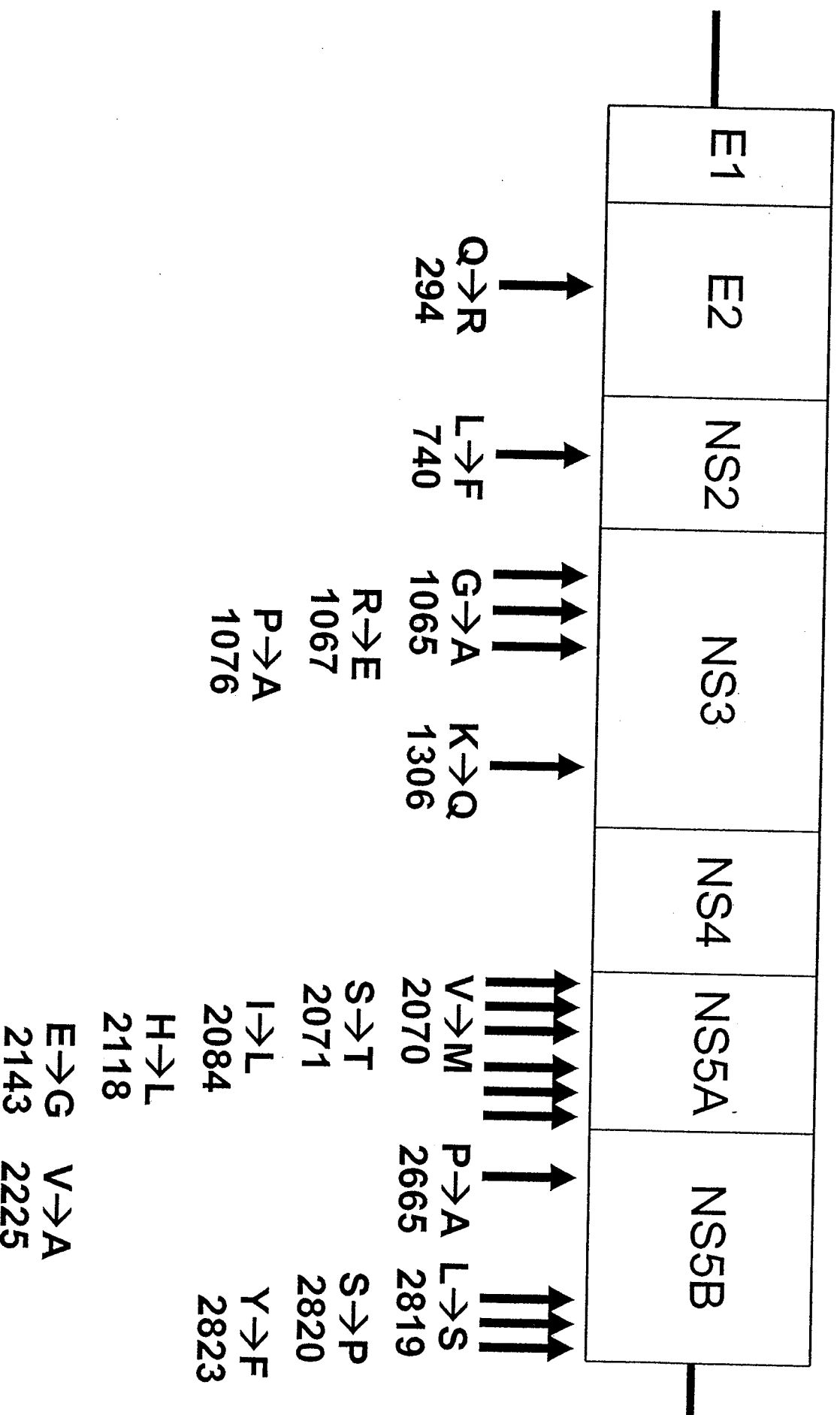


FIG. 34A

AA 2457 AF121950 FQYTPNQRIRMLKL
 AY196904 -----VK-----

AA 2791 AF121950 GIPGAFPLSPYMGVV
 AY196904 -----G-SP-----F-----

FIG. 34B

121950	VALVNRPEKDEVQVGYWDLWEMI	RQVRMVARLALCPVSLPLWHCGEGW	S
196904	-----		
121950	WLLDGHVESRCLCGCVITGDV	LNQKDPVYSTKLCRHYMGTV	PVNM
196904	----- E -----		
121950	SDTPKVVPFGTSGWAEVV	PTPHVIRRTSAYKLLRQQL	LSAAVAEPYVDGIPVSWDADA
196904	-----		
121950	RAPAMVYGPQSVTIDGER	YTLPHQLRLRNVA	PSVSSSEVSIDIGTETDSELTEADLPPA
196904	----- MT-L -----		
121950	AAALQAIENARILEPHID	VIMEDCSTPSLCSSREMP	VWGEDI
196904	----- L ----- G ----- S -----		
121950	KTPSVSSSQEDTPSSDS	FEVIOSE	TAEGEESVENVALSVLKALFPQSDATRKLTVMSCC
196904	-----		
121950	VEKSVTRFESLGLTVAD	VASLC	MEIQNH
196904	A -----		

FIG. 34C